20

# Фотоиндуцированное изменение флуоресцентных свойств AgInS<sub>2</sub> квантовых точек: влияние белкового окружения

© В.И. Горбачева <sup>1</sup>, И.А. Резник <sup>2</sup>, Е.П. Колесова <sup>1</sup>

<sup>1</sup> Научно-технологический Университет Сириус, Краснодарский край, Россия <sup>2</sup> Университет ИТМО, 197101 Санкт-Петербург, Россия e-mail: e.p.kolesova@gmail.com

Поступила в редакцию 11.11.2024 г. В окончательной редакции 28.04.2025 г. Принята к публикации 28.04.2025 г.

Синтезированы полупроводниковые квантовые точки (KT) AgInS<sub>2</sub> и AgInS<sub>2</sub>/ZnS и исследовано изменение их флуоресцентных свойств при воздействии внешнего излучения. Для оценки влияния белкового окружения KT были инкапсулированы в альбуминовые наночастицы и покрыты оболочкой из фетальной бычьей сыворотки для имитации белковой короны. Продемонстрировано, что белковое окружение оказывает значительное влияние на люминесцентные свойства KT, а именно гипсохромный сдвиг полосы люминесценции и уменьшение квантового выхода люминесценции. Полученные результаты показали, что и оболочка ZnS, и оба типа белковой оболочки приводят к уменьшению скорости фотообесцвечивания флуоресцентных свойств KT в результате взаимодействия со светом.

**Ключевые слова:** квантовые точки, флуоресценция, фотоиндуцированные процессы, белковая корона, альбуминовые наноносители.

DOI: 10.61011/OS.2025.04.60539.7311-24

## Введение

С момента первого коллоидного синтеза полупроводниковые квантовые точки (КТ) привлекли внимание исследователей благодаря своим уникальным фотофизическим свойствам и эффекту размерного квантования [1]. Традиционные КТ А2В6 нашли применение и в биомедицинской области для биологической визуализации, сенсорики, и как эффективные доноры энергии и носителей заряда в комплексах с различными молекулами [2]. Однако данный тип КТ характеризуется высокой токсичностью [3]. Опасения биологов вызывает наличие в составе КТ ионов тяжелых металлов, а именно Cd, Se, Zn и Pb, которые способны вызвать оксидативный стресс и разрушение ДНК [4]. Тройные КТ AgInS<sub>2</sub> ввиду относительно простого синтеза, высокой стабильности и квантового выхода люминесценции стали перспективной альтернативой традиционным КТ для медицинских приложений [5]. Кроме того, данный тип КТ способен самостоятельно генерировать супероксид и выступать как сенсибилизатор для фотодинамической терапии [6]. Таким образом, платформы на основе AgInS2 КТ можно будет одновременно использовать как для визуализации клеток и биораспределения систем в организме, так и в качестве терапевтического средства. В обоих описанных случаях функциональность КТ будет связана с результатом взаимодействия КТ с излучением.

КТ относятся к классу фотоактивируемых систем, фотофизические свойства которых могут меняться в результате взаимодействия со светом. При поглощении

внешнего излучения на поверхности частиц происходят фотохимические реакции, а именно фотооксиление поверхности [7]. Для традиционных КТ CdSe на первом этапе происходит увеличение квантового выхода флуоресценции за счет окисления дефектов на поверхности КТ, конкурирующих с их флуоресценцией. Дальнейшее окисление поверхности приведет к образованию новых дефектов, формирование которых приведет к ухудшению флуоресцентных свойств КТ.

В одной из наших предыдущих публикаций, мы показали, что за счет фотоиндуцированных процессов можно увеличить как флуоресцентные свойства КТ, так и их эффективность в качестве донора заряда в системе с наночастицами (НЧ) диоксида титана [8]. Можно предположить, что фотоиндуцированные процессы окажут существенное влияние и на свойства КТ AgInS2, однако этот вопрос пока не изучен в должной мере. Особенный интерес для данного типа КТ представляет исследование закономерностей фотоиндуцированных процессов в зависимости от белкового окружения. В случае использования КТ для биологических приложений первый барьер, с которым встретится наноплатформа, это опсонизация, а именно взаимодействие с белками системы кровообращения, в результате которого на поверхности КТ образуется так называемая белковая корона [9]. Формирование белковой короны может оказать влияние на фотофизические свойства НЧ, а также на их функциональность, в частности может снизить возможности адресной доставки за счет поверхностной модификации НЧ. Белковая корона из молекул бычьей фетальной сыворотки будет использована как модель белкового окружения КТ при попадании в кровоток.

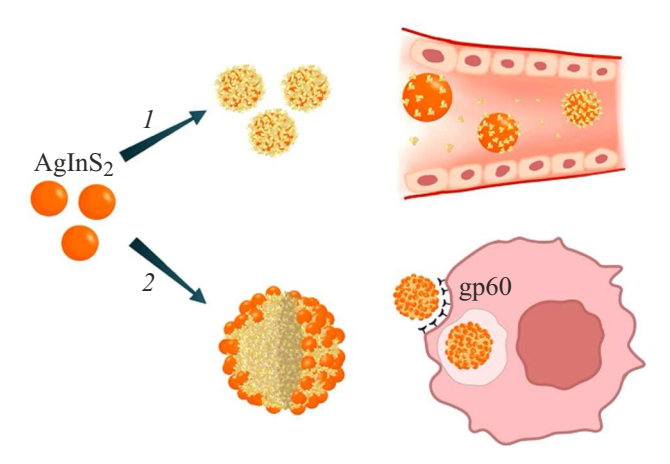
В качестве другой модели белкового окружения будут использованы альбуминовые частицы, которые могут использоваться для внутриклеточной доставки лекарственных средств. Альбуминовые наноносители обладают рядом преимуществ, что привело к одобрению Абраксена, который представляет собой коньюгаты альбумина и паклитаксела для терапии раковых заболеваний [10]. Инкапсуляция КТ в НЧ альбумина позволит снизить иммунный отклик организма на наноплатформы. Кроме того, позволит добиться адресной доставки КТ в раковые клетки за счет взаимодействия альбумина с gp60 и SPARC-рецепторами раковых клеток [11] и увеличит клеточную интернализацию за счет изменения размера системы и их заряда [12].

Исследование фотоиндуцированных процессов в описанных выше условиях является необходимым условием для оценки перспективности КТ для биовизуализации и фотодинамической терапии.

В настоящей работе КТ AgInS2 и AgInS2/ZnS были синтезированы методом гидротермального синтеза. Коньюгаты КТ с сывороткой и с альбуминовыми НЧ создавались путем их совместной инкубации в течение 24 h. Показано, что оболочка ZnS приводит к увеличению квантового выхода флуоресценции КТ и гипсохромному сдвигу спектров флуоресценции. Наличие белков в ближайшем окружении снижает квантовый выход флуоресценции КТ и также приводит к сдвигам спектров флуоресценции КТ в коротковолновую область. КТ AgInS2 демонстрируют быстрое обесцвечивание флуоресцентных свойств при воздействии внешнего излучения; и полупроводниковая (ZnS), и белковые (белки фетальной бычьей сыворотки (ФБС)), и альбуминовая оболочки приводят к замедлению скорости этого процесса, что повышает перспективность данных систем в биологии.

#### Материалы и методы

Водные КТ AgInS<sub>2</sub> (ядра) и AgInS<sub>2</sub>/ZnS ро/оболочка) были синтезированы с помощью гидротермального метода [13]. Для синтеза КТ AgInS2 в трехгорлую стеклянную колбу к 5 ml H<sub>2</sub>O последовательно добавляли 0.052 ml AgNO<sub>3</sub> (0.1 M), 0.104 ml TGA (1 M), 0.0334 ml NH<sub>4</sub>OH (5 M), 0.0364 ml InCl<sub>3</sub> (1 M), 0.08 ml NH<sub>4</sub>OH (5 M) и 0.052 ml Na<sub>2</sub>S·9H<sub>2</sub>O (1 M). Синтез длился 30 min, после чего для наращивания оболочки ZnS добавляли 0.078 ml TGA (1 M), 0.05 ml NH<sub>4</sub>OH (5 M) и Zn(CH<sub>3</sub>COO)<sub>2</sub> (1.0 M). Температура среды в колбе была установлена на 90°C, оставалась постоянной на протяжении всего синтеза и регулировалась с помощью нагревательного элемента и датчика температуры в водяной бане. После синтеза растворы КТ промывали путем добавления изопропилового спирта в соотношении 1:2 и центрифугировали в течение 3 min



**Рис. 1.** Схематичное изображение систем на основе КТ и молекул белков, сформированных в настоящей работе: I — коньюгаты с ФБС для имитации белковой короны, образующейся на поверхности КТ при попадании в кровоток; 2 — КТ, инкапсулированные в АНЧ, способные адресно доставлять КТ в раковые клетки.

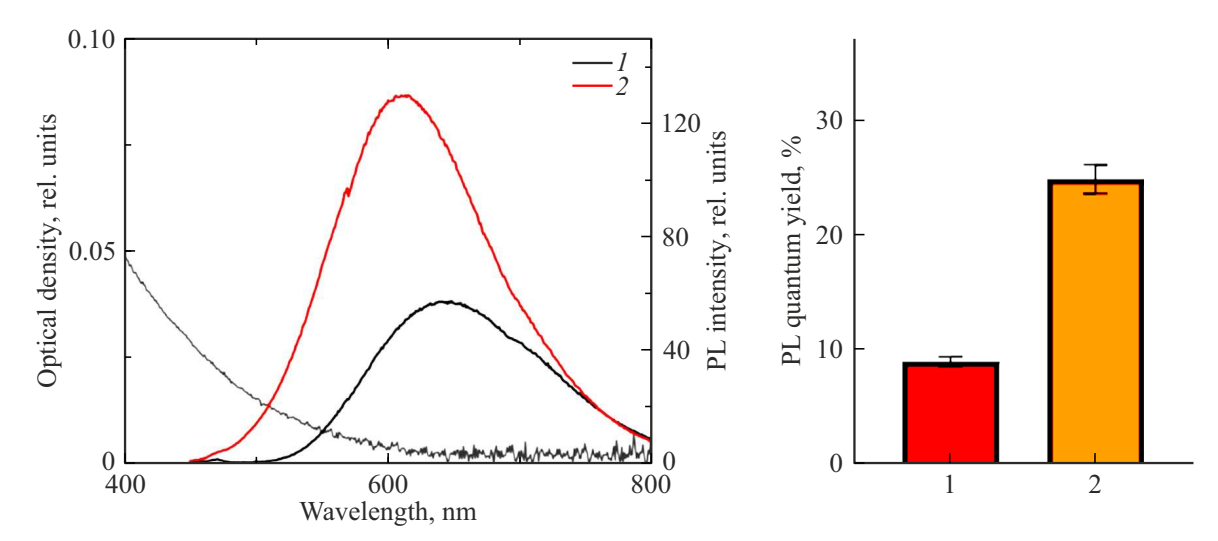
при 12 000 грт. После этого образцы перерастворялись в воде и хранились в темноте при температуре 4 °C.

Для формирования коньюгатов КТ с белками ФБС был приготовлен водный раствор КТ с 10% и 30% содержанием ФБС и концентрацией  $5\cdot 10^{-6}$  М. Полученная смесь оставлялась для совместной инкубации на  $15\,\mathrm{h}$  в темноте при комнатной температуре. Молекулы альбумина, составляющие большую часть ФБС, имеют отрицательный заряд и будут электростатически связываться с положительно заряженными КТ. Полученные коньюгаты хранились в темноте при температуре  $4\,\mathrm{^{\circ}C}$ .

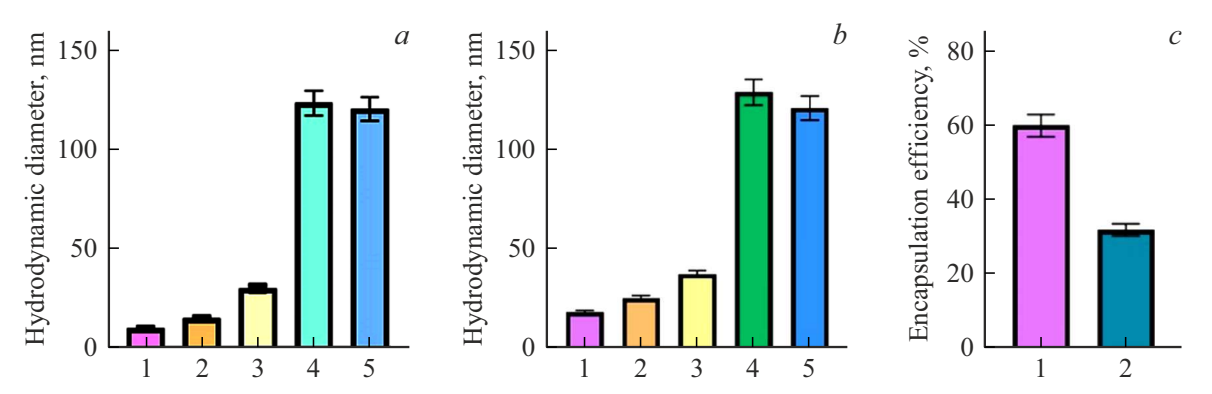
Аналогичная методика использовалась для создания систем КТ/Альбуминовые НЧ (АНЧ). АНЧ были синтезированы методом десольвотации и последующим сшиванием с помощью глуторальдегида [14]. Частицы, синтезированные таким образом, имеют отрицательный поверхностный заряд и размер  $\sim 120\,\mathrm{nm}.\,1\,\mathrm{mg}$  частиц добавлялся в водный раствор КТ с концентрацией  $5\cdot 10^{-6}\,\mathrm{M}.$  Совместная инкубация проводилась в темноте при комнатной температуре и постоянном перемешивании. После этого частицы были центрифугированы в течение 15 min при 12 000 грm, и свободные КТ оставались в непосадочной жидкости. Осадившиеся системы были перерастворены в деионизированной воде и хранились в темноте при температуре 4 °C. Эффективность инкапсуляции КТ оценивалась по формуле

$$E(\%) = (I_{\text{initial}} - I_{\text{supernatant}})/I_{\text{inintial}} 100\%,$$

где  $I_{\rm initial}$  и  $I_{\rm supernatant}$  — интенсивности флуоресценции раствора КТ в нулевой момент инкапсуляции и надосадочной жидкости при осаждении систем при завершении процесса инкапсуляции. Сформированные системы схематично представлены на рис. 1.



**Рис. 2.** (a) Спектры поглощения и флуоресценции КТ AgInS $_2$  и AgInS $_2$ /ZnS. Длина волны возбуждения флуоресценции 405 nm. (b) Квантовый выход КТ AgInS $_2$  и AgInS $_2$ /ZnS, рассчитанный относительно родамина 6Ж: I — КТ AgInS $_2$ , Z — КТ AgInS $_2$ /ZnS.



**Рис. 3.** Гидродинамический диаметр систем на основе КТ AgInS $_2$  (a) и AgInS $_2$ /ZnS (b): I — КТ, 2 — КТ/10ФБС, 3 — КТ/30ФБС, 4 — КТ/АНЧ, 5 — АНЧ; эффективность инкапсуляции КТ в АНЧ: I — AgInS $_2$ , 2 — AgInS $_2$ /ZnS (c).

Оценку размеров сформированных в настоящей работе систем проводили с использованием метода динамического светорассеяния на приборе Zetasizer Ultra (Malvern Panalytical, Великобритания). Стационарные спектры поглощения и флуоресценции регистрировалась с помощью спектрофотометра Multiskan Sky (ThermoFisher Scientific, США) и спектрофлуориметра Cary Eclipse (Agilent, США). Квантовый выход флуоресценции оценивался относительно родамина 6Ж.

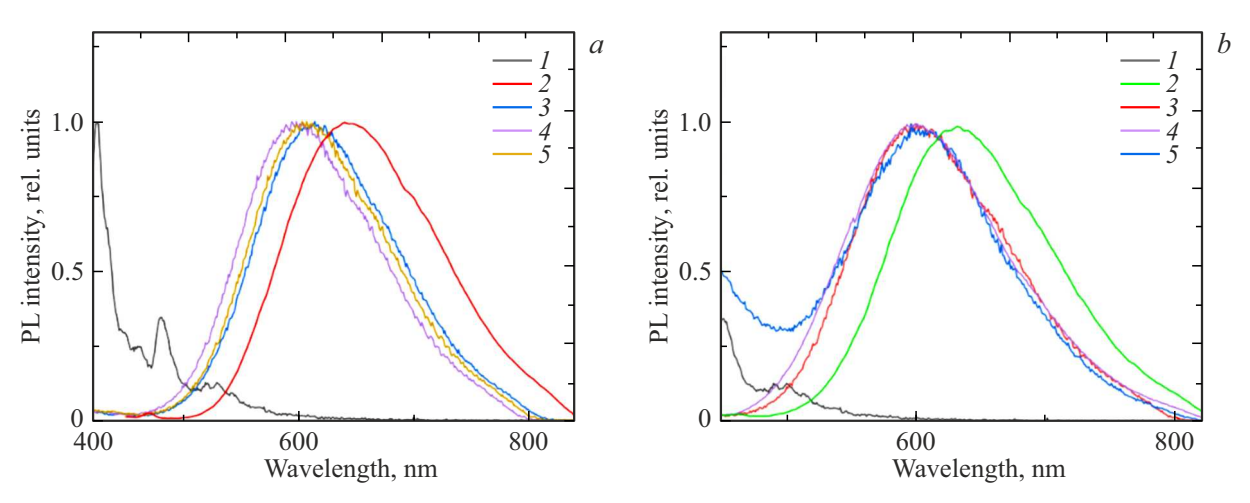
Для исследования влияния фотоиндуцированных процессов на поверхности КТ на их флуоресцентные свойства образцы подвергались воздействию УФ излучения с длиной волны 365 nm. Падающая на образец мощность составляла 0.3 mW, кювета с образцом равномерно освещалась излучением (площадь сечения кюветы составляла  $1\,\mathrm{cm}^2$ ). Образец периодически перемешивался для равномерного воздействия внешнего излучения на КТ. Суммарная доза падающего излучения составила  $\sim 0.75\,\mathrm{J\cdot m}^{-2}$ . Во время облучения периодически реги-

стрировались спектры флуоресценции КТ и систем на их основе.

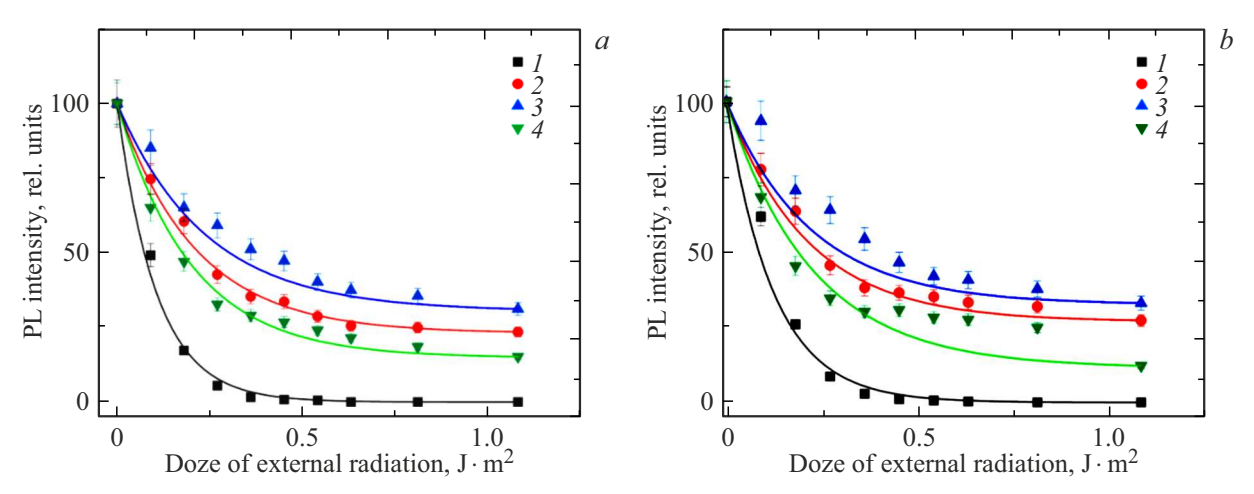
#### Результаты

Влияние фотоиндуцирванных процессов на поверхности КТ на их флуоресцентные свойства оценивалось для трех различных модельных ситуаций: водный раствор КТ после синтеза (AgInS $_2$  и AgInS $_2$ /ZnS), коньюгаты КТ с ФБС (AgInS $_2$ /ФБС и AgInS $_2$ /ZnS/ФБС) и системы с АНЧ (AgInS $_2$ /АНЧ и AgInS $_2$ /ZnS/АНЧ). Каждый образец был охарактеризован и подвергнут воздействию внешнего излучения, в течение которого регистрировались спектры флуоресценции КТ.

Поверхность КТ в результате синтеза характеризуется наличием большого числа дефектных состояний, которые могут выступать как ловушки для носителей заряда и таким образом снижать квантовый выход флуоресценции КТ. Снизить эффективность этих безызлучательных каналов релаксации электронного возбуждения



**Рис. 4.** Спектры флуоресценции систем на основе КТ  $AgInS_2$  (a) и  $AgInS_2/ZnS$  (b): 1 — AHЧ, 2 — КТ, 3 — КТ/10ФБС, 4 — КТ/30ФБС, 5 — КТ/АНЧ. Длина волны возбуждения флуоресценции — 405 nm.



**Рис. 5.** Изменение флуоресценции КТ в процессе длительного воздействия внешнего излучения для систем на основе КТ  $AgInS_2$  (a) и  $AgInS_2$ /ZnS (b): I— KT, 2 — KT/10 $\Phi$ БС, 3 —KT/30 $\Phi$ БС, 4 — KT/AHЧ. Данные нормированы на интенсивность флуоресценции в начальный момент облучения.

возможно пассивируя поверхность КТ с помощью широкозонного полупроводника ZnS, что, согласно литературе, должно привести к увеличению квантового выхода флуоресценции КТ [15]. На рис. 2 представлены спектры поглощения и флуоресценции КТ AgInS<sub>2</sub> и AgInS<sub>2</sub>/ZnS.

Как видно из рис. 2, наращивание оболочки приводило к гипсохромному сдвигу спектра флуоресценции КТ  $AgInS_2$  в коротковолновую область с 645 до 630 nm, что сопровождается увеличением квантового выхода флуоресценции больше чем в 2.5 раза — с 9 до 24%, что хорошо согласуется с литературными данными. Однако это приводит к смещению области поглощения КТ от окна прозрачности человеческого организма (650—950 nm), что затруднит их функциональность в *in vivo* приложениях. При попадании в систему кровотока поверхность КТ будет покрыта слоем белков, так называемой белковой короной, что может привести к существенному изменению их люминесцентных и фото-

физических свойств. Кроме того, в дальнейшей работе планируется использовать альбуминовые частицы для внутриклеточной доставки КТ для повышения эффективности фотодинамической терапии за счет генерации КТ супероксида.

Методика формирования белкового окружения описана в разделе материалы и методы. На рис. 3 представлены размеры сформированных систем, полученные методом динамического рассеяния света, эффективность инкапсуляции КТ в альбуминовые частицы.

Как видно из рис. 3 при инкубации КТ в растворе, содержащем 10 и 30% ФБС, происходит значительное увеличение размера системы, которое коррелирует с содержанием ФБС в растворе. Так, в случае КТ  $AgInS_2$  размер системы после инкубации в 30% растворе ФБС увеличился в 3 раза — с 10 до 30 nm. В этом случае при внутривенном введении КТ в организм более 70% от объема системы КТ/белковая корона будут состав-

лять белки, и именно они будут определять поверхностные свойства образовавшейся системы и нано-биовзаимодействие. В случае систем КТ/АНЧ размер системы определяется размером исходных АНЧ (120 nm), и инкапсуляции КТ приводят к незначительному увеличению гидродинамического диаметра (до 125 и 128 nm) при 60% и 32% эффективности инкапсуляции КТ AgInS2 и AgInS2/ZnS соответственно. Можно предположить, что КТ были внедрены в приповерхностный слой альбуминовых частиц, и в этом случае все еще возможна адресная доставка КТ в раковые клетки за счет активации транспортировки через рецепторы gp60 и связывания с секретируемым белком SPARC [11].

Можно предположить, что белковое окружение окажет влияние на квантовый выход сформированных систем и на фотофизические свойства КТ. На рис. 4 представлены нормированные спектры флуоресценции систем на основе КТ.

Как видно из рис. 4, белковое окружение приводит к существенному сдвигу спектров флуоресценции в коротковолновую область. Согласно литературе, наблюдаемый гипсохромный сдвиг спектров флуоресценции связан с изменением поверхностного заряда КТ в более отрицательную область [16]. При этом и белковая оболочка на КТ, и альбуминовые частицы приводят к одинаковому изменению спектров, что является подтверждением данной гипотезы. Все сформированные системы были подвергнуты длительному воздействию УФ излучения, в течение которого не наблюдалось существенных спектральных сдвигов полосы флуоресценции КТ. На рис. 5 представлено изменение интенсивности флуоресценции КТ в процессе облучения.

Как видно из рис. 5, облучение КТ приводит к уменьшению их интенсивности флуоресценции. С учетом отсутствия изменения в спектрах поглощения КТ это говорит о уменьшении квантового выхода флуоресценции КТ. Наблюдаемые быстрые изменения для обоих типов КТ свидетельствуют о формировании в результате облучения новых каналов релаксации, конкурирующих с флуоресценцией.

Незначительное увеличение интенсивности флуоресценции (< 5%) КТ наблюдалось при суммарной дозе падающего излучения, не превышающей 15 mJ·m<sup>2</sup>. Согласно литературе, природа флуоресценции КТ AgInS2 носит дефектный характер, что приводит к большим характерным временам затухания флуоресценции [17]. В этом случае быстрое уменьшение интенсивности флуоресценции может говорить о фотохимической пассивации флуоресцентных центров КТ. Оболочка ZnS приводит к незначительному замедлению фотообесцвечивания при малых дозах излучения  $(0.25 \, \mathrm{J} \cdot \mathrm{m}^2)$ , однако и в этом случае КТ быстро теряют флуоресцентные свойства (рис. 5, b). Белковое окружение приводит к существенному замедлению этих процессов, что позволит сохранить функциональность КТ в течение долгого промежутка времени. Так, при превышении падающим излучением дозы  $0.4\,\mathrm{J\cdot m^2}$  КТ демонстрируют полное фотоиндуцированное тушение люминесценции, а в случае наличия белкового окружения интенсивность флуоресценции остается на уровне 25% от исходной и при больших дозах.

Как видно из рис. 5, коньюгация с белками сыворотки крови продемонстрировала большую эффективность в защите от фотоиндуцированного изменения поверхностных свойств КТ, чем их инкапсуляция в альбуминовые частипы.

#### Выводы

Полученные в настоящей работе данные демонстрируют, что белковое окружение, формирующееся при попадании КТ в систему кровоообращения и их взаимодействии с клетками, будет оказывать существенное влияние на фотофизические свойства КТ. В частности, коньюгация с белками крови и инкапсуляция в альбуминовые частицы приводит к гипсохромному сдвигу флуоресценции КТ и уменьшению квантового выхода флуоресценции, что затруднит их использование in vivo. Однако белковое окружение позволяет значительно снизить эффективность фотоиндуцированного обесцвечивания флуоресцентных свойств КТ, таким образом сохраняя их функциональность. Для эффективного использования КТ в биологических приложениях необходимо оптимизировать синтез КТ для сдвига спектральной области поглошения в ближнюю ИК область.

#### Финансирование работы

Работа выполнена при поддержке Российского научного фонда, проект № 24-24-20102.

#### Конфликт интересов

Авторы заявляют, что у них нет конфликта интересов.

### Список литературы

- D.S. Kumar, B.J. Kumar, H.M. Mahesh. Synthesis of Inorganic Nanomaterials, 59–88 (2018).
   DOI: 10.1016/B978-0-08-101975-7.00003-8
- [2] F.P. García de Arquer, D.V. Talapin, V.I. Klimov, Y. Arakawa, M. Bayer, E.H. Sargent. Science, 373 (6555), eaaz8541 (2021). DOI: 10.1126/science.aaz8541
- [3] V.K. Sharma, T.J. McDonald, M. Sohn, G.A. Anquandah, M. Pettine, R. Zboril. Chemosphere, 188, 403 (2017). DOI: 10.1016/j.chemosphere.2017.08.130
- [4] A. Lin, X.H. Zhang, M.M. Chen, Q. Cao. J. Env. Sc., 19 (5), 596 (2007). DOI: 10.1016/S1001-0742(07)60099-0
- [5] J.Y. Chang, G.Q. Wang, C.Y. Cheng, W.X. Lin, J.C. Hsu. J. Mat. Chem., 22 (21), 10609 (2012). DOI: 10.1039/C2JM30679D
- [6] K.N. Baranov, E.P. Kolesova, M.A. Baranov, A.O. Orlova. Opt. Spectrosc., 130 (5), 336 (2022).
   DOI: 10.1134/S0030400X22060017

- [7] S.F. Lee, M.A. Osborne. ChemPhysChem, 10 (13), 2174 (2009). DOI: 10.1002/cphc.200900200
- [8] E.P. Kolesova, F.M. Safin, V.G. Maslov, Y.K. Gun'ko, A.O. Orlova. Opt. Spectrosc., 127, 548 (2019). DOI: 10.1134/S0030400X19090157
- [9] W. Kim, N.K. Ly, Y. He, Y. Li, Z. Yuan, Y. Yeo. Adv. Drug Delivery Rev., 192, 114635 (2023).DOI: 10.1016/j.addr.2022.114635
- [10] A. Spada, J. Emami, J.A. Tuszynski, A. Lavasanifar. Mol. Pharmaceutics, 18 (5), 1862 (2021). DOI: 10.1021/acs.molpharmaceut.1c00046
- [11] Q. Ji, H. Zhu, Y. Qin, R. Zhang, L. Wang, E. Zhang,
  R. Meng. Frontiers in Pharmacology, 15, 1329636 (2024).
  DOI: 10.3389/fphar.2024.1329636/full
- [12] A.M. Bannunah, D. Vllasaliu, J. Lord, S. Stolnik. Mol. Pharmaceutics, 11 (12), 4363 (2014). DOI: 10.1021/mp500439c
- [13] A. Raevskaya, V. Lesnyak, D. Haubold, V. Dzhagan,
  O. Stroyuk, N. Gaponik, A. Eychmüller. J. Phys. Chem. C,
  121 (16), 9032 (2017). DOI: 10.1021/acs.jpcc.7b00849
- [14] E.P. Kolesova, V.S. Egorova, A.O. Syrocheva, A.S. Frolova, D. Kostyushev, A. Kostyusheva, A. Parodi. Int. J. Mol. Sci., 24 (12), 10245 (2023). DOI: 10.3390/ijms241210245
- [15] I.A. Mir, M.A. Bhat, Z. Muhammad, S.U. Rehman, M. Hafeez, Q. Khan, L. Zhu. J. Alloys and Compounds, 811, 151688 (2019). DOI: 10.1016/j.jallcom.2019.151688
- [16] L. Lai, C. Lin, Z.Q. Xu, X.L. Han, F.F. Tian, P. Mei, Y. Liu. Spectrochim. Acta Part A: Mol. Biomol. Spectrosc., 97, 366 (2012). DOI: 10.1016/j.saa.2012.06.025
- [17] C. Rivaux, T. Akdas, R. Yadav, O. El-Dahshan, D. Moodelly, W.L. Ling, P. Reiss. J. Phys. Chem. C, 126 (48), 20524 (2022). DOI: 10.1021/acs.jpcc.2c06849